

Метрические методы классификации и регрессии

Воронцов Константин Вячеславович

vokov@forecsys.ru

<http://www.MachineLearning.ru/wiki?title=User:Vokov>

Этот курс доступен на странице вики-ресурса

<http://www.MachineLearning.ru/wiki>

«Машинное обучение (курс лекций, К.В.Воронцов)»

Видеолекции: <http://shad.yandex.ru/lectures>

1 Определение расстояний между объектами

- Гипотезы компактности или непрерывности
- Векторные меры близости
- Беспризнаковые способы вычисления расстояний

2 Метрические методы классификации

- Обобщённый метрический классификатор
- От метода ближайшего соседа к потенциальным функциям
- Задача отбора эталонных объектов

3 (Непара)метрические методы регрессии

- Формула Надаля–Ватсона
- Выбор ядра K и ширины окна h
- Отсев выбросов

Гипотезы непрерывности и компактности

Задачи классификации и регрессии:

X — объекты, Y — ответы;

$X^\ell = (x_i, y_i)_{i=1}^\ell$ — обучающая выборка;

Гипотеза непрерывности (для регрессии):

близким объектам соответствуют близкие ответы.

выполнена:



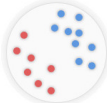
не выполнена:



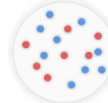
Гипотеза компактности (для классификации):

близкие объекты, как правило, лежат в одном классе.

выполнена:

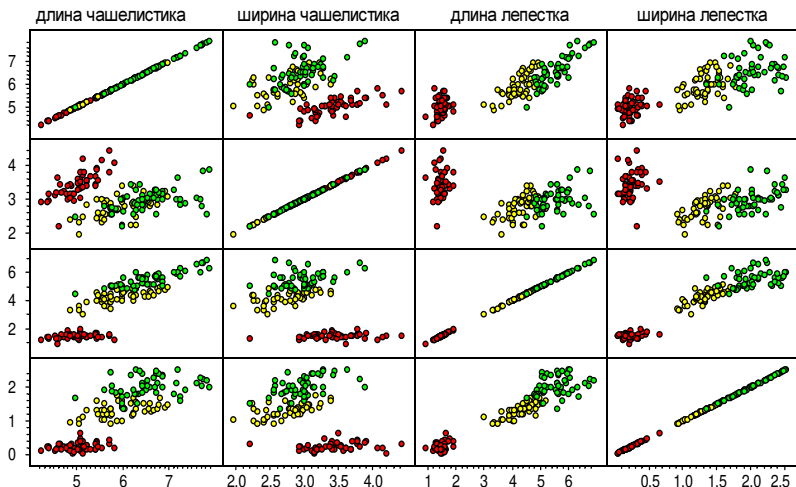


не выполнена:



Пример: задача классификации цветков ириса [Фишер, 1936]

Привычная мера близости — евклидова метрика в \mathbb{R}^2 .



Формализация понятия «близости»

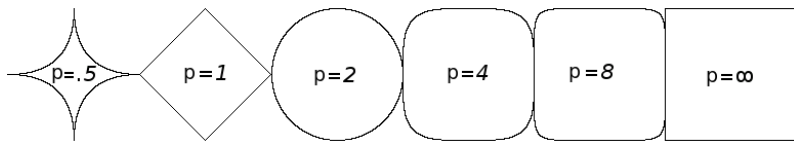
Евклидова метрика и обобщённая метрика Минковского:

$$\rho(x, x_i) = \left(\sum_{j=1}^n |x^j - x_i^j|^2 \right)^{1/2} \quad \rho(x, x_i) = \left(\sum_{j=1}^n w_j |x^j - x_i^j|^p \right)^{1/p}$$

$x = (x^1, \dots, x^n)$ — вектор признаков объекта x ,

$x_i = (x_i^1, \dots, x_i^n)$ — вектор признаков объекта x_i ,

w_1, \dots, w_n — веса признаков, которые можно обучать.

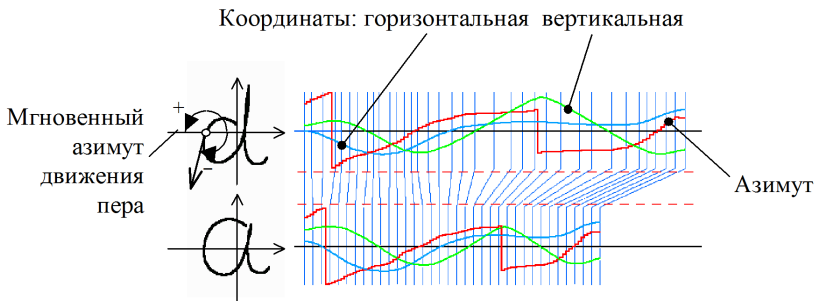


Расстояния между строками / сигналами

Для строк — редакторское расстояние Левенштейна:

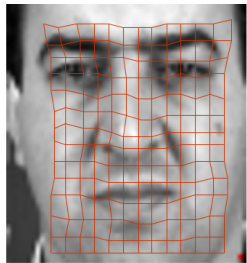
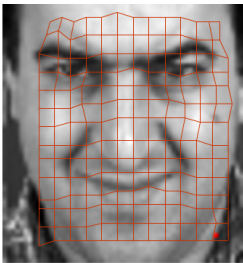
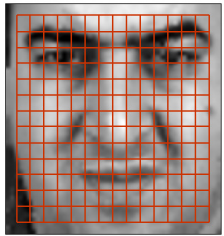
CTGGG**CTA**AAAG**GTC**CCTTAGCC..TTTAGAAAAA.GGGCCATTAGG**AA**TTGC
CTGGG**ACT**AAA....CCTTAGC**CTA**TTTAC**AAAAA**TGGGCCATTAGG...TTGC

Для сигналов — энергия сжатий и растяжений:



Расстояния между изображениями

Расстояние между изображениями на основе выравнивания:



Оценивается энергия растяжения прямоугольной сетки

Обобщённый метрический классификатор

Для произвольного $x \in X$ отранжируем объекты x_1, \dots, x_ℓ :

$$\rho(x, x^{(1)}) \leq \rho(x, x^{(2)}) \leq \dots \leq \rho(x, x^{(\ell)}),$$

$x^{(i)}$ — i -й сосед объекта x среди x_1, \dots, x_ℓ ;
 $y^{(i)}$ — ответ на i -м соседе объекта x .

Метрический алгоритм классификации:

$$a(x; X^\ell) = \arg \max_{y \in Y} \underbrace{\sum_{i=1}^{\ell} [y^{(i)} = y] w(i, x)}_{\Gamma_y(x)},$$

$w(i, x)$ — вес (степень важности) i -го соседа объекта x ,
неотрицателен, не возрастает по i .

$\Gamma_y(x)$ — оценка близости объекта x к классу y .

Метод k ближайших соседей (k nearest neighbors, kNN)

$w(i, x) = [i \leq 1]$ — метод ближайшего соседа

$w(i, x) = [i \leq k]$ — метод k ближайших соседей

Преимущества:

- простота реализации (lazy learning);
- параметр k можно оптимизировать по критерию скользящего контроля (leave-one-out):

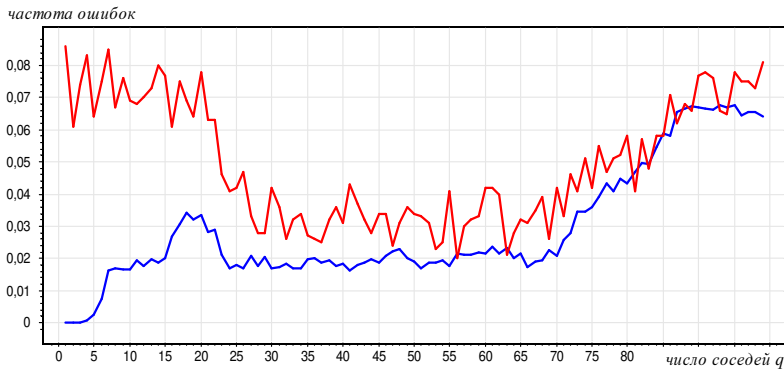
$$\text{LOO}(k, X^\ell) = \sum_{i=1}^{\ell} \left[a(x_i; X^\ell \setminus \{x_i\}, k) \neq y_i \right] \rightarrow \min_k .$$

Недостатки:

- неоднозначность классификации при $\Gamma_y(x) = \Gamma_s(x)$, $y \neq s$.
- не учитываются значения расстояний

Зависимость LOO от числа соседей

Пример. Задача UCI: Iris.



- смещённое число ошибок, когда объект учитывается как сосед самого себя
- несмешённое число ошибок LOO

Метод k взвешенных ближайших соседей

$$w(i, x) = [i \leq k] w_i,$$

где w_i — вес, зависящий только от номера соседа;

Возможные эвристики:

$$w_i = \frac{k+1-i}{k} \text{ — линейное убывающие веса;}$$

$$w_i = q^i \text{ — экспоненциально убывающие веса, } 0 < q < 1;$$

Проблемы:

- как более обоснованно задать веса?
- возможно, было бы лучше, если бы вес $w(i, x)$ зависел не от порядкового номера соседа i , а от расстояния до него $\rho(x, x^{(i)})$.

Метод окна Парзена

$w(i, x) = K\left(\frac{\rho(x, x^{(i)})}{h}\right)$, где h — ширина окна,
 $K(r)$ — ядро, не возрастает и положительно на $[0, 1]$.

Метод парценовского окна *фиксированной ширины*:

$$a(x; X^\ell, \textcolor{red}{h}, K) = \arg \max_{y \in Y} \sum_{i=1}^{\ell} [y_i = y] K\left(\frac{\rho(x, x_i)}{\textcolor{red}{h}}\right)$$

Метод парценовского окна *переменной ширины*:

$$a(x; X^\ell, \textcolor{red}{k}, K) = \arg \max_{y \in Y} \sum_{i=1}^{\ell} [y_i = y] K\left(\frac{\rho(x, x_i)}{\rho(x, x^{(k+1)})}\right)$$

Оптимизация параметров — по критерию LOO:

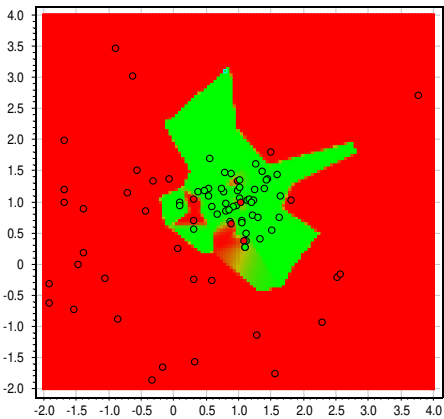
- выбор ширины окна h или числа соседей k
- выбор ядра K

Парзеновское окно фиксированной ширины h

Пример: двумерная выборка, два класса $Y = \{-1, +1\}$.

$$a(x) = \arg \max_{y \in Y} \Gamma_y(x) = \text{sign}(\underbrace{\Gamma_{+1}(x) - \Gamma_{-1}(x)}_{})$$

$h = 0.05$

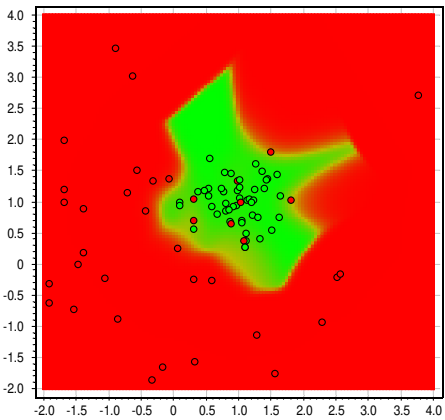


Парзеновское окно фиксированной ширины h

Пример: двумерная выборка, два класса $Y = \{-1, +1\}$.

$$a(x) = \arg \max_{y \in Y} \Gamma_y(x) = \text{sign}(\underbrace{\Gamma_{+1}(x) - \Gamma_{-1}(x)}_{})$$

$h = 0.2$

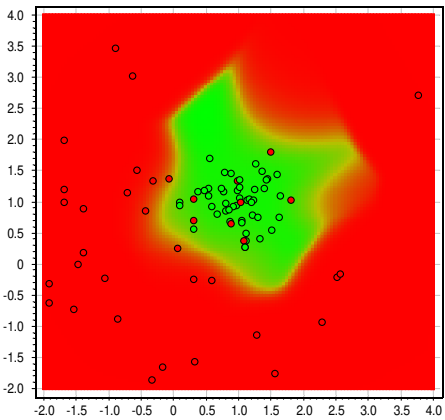


Парзеновское окно фиксированной ширины h

Пример: двумерная выборка, два класса $Y = \{-1, +1\}$.

$$a(x) = \arg \max_{y \in Y} \Gamma_y(x) = \text{sign}(\underbrace{\Gamma_{+1}(x) - \Gamma_{-1}(x)}_{})$$

$h = 0.3$

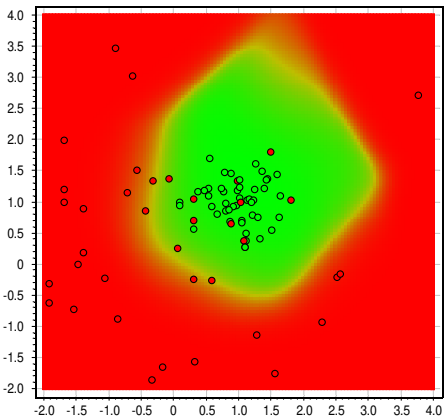


Парзеновское окно фиксированной ширины h

Пример: двумерная выборка, два класса $Y = \{-1, +1\}$.

$$a(x) = \arg \max_{y \in Y} \Gamma_y(x) = \text{sign}(\underbrace{\Gamma_{+1}(x) - \Gamma_{-1}(x)}_{})$$

$$h = 0.5$$

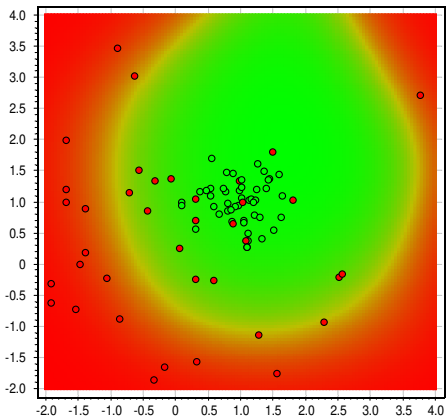


Парзеновское окно фиксированной ширины h

Пример: двумерная выборка, два класса $Y = \{-1, +1\}$.

$$a(x) = \arg \max_{y \in Y} \Gamma_y(x) = \text{sign}(\underbrace{\Gamma_{+1}(x) - \Gamma_{-1}(x)}_{})$$

$h = 1.0$

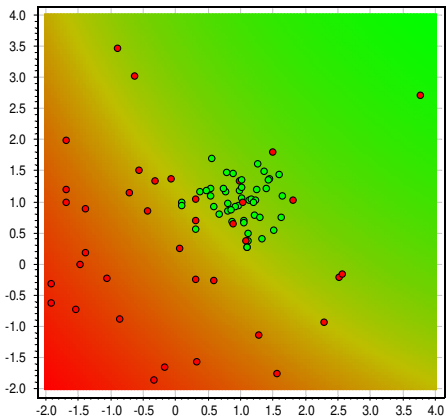


Парзеновское окно фиксированной ширины h

Пример: двумерная выборка, два класса $Y = \{-1, +1\}$.

$$a(x) = \arg \max_{y \in Y} \Gamma_y(x) = \text{sign}(\underbrace{\Gamma_{+1}(x) - \Gamma_{-1}(x)}_{})$$

$h = 5.0$



Метод потенциальных функций

$$w(i, x) = \gamma^{(i)} K\left(\frac{\rho(x, x^{(i)})}{h^{(i)}}\right)$$

Более простая запись (здесь можно не ранжировать объекты):

$$a(x; X^\ell) = \arg \max_{y \in Y} \sum_{i=1}^{\ell} [y_i = y] \gamma_i K\left(\frac{\rho(x, x_i)}{h_i}\right),$$

где γ_i — веса объектов, $\gamma_i \geq 0$, $h_i > 0$.

Физическая аналогия из электростатики:

γ_i — величина «заряда» в точке x_i ;

h_i — «радиус действия» потенциала с центром в точке x_i ;

y_i — знак «заряда» (в случае двух классов $Y = \{-1, +1\}$);

$K(r) = \frac{1}{r}$ или $\frac{1}{r+a}$

В задачах классификации нет ограничений ни на K , ни на $|Y|$.

Метод потенциальных функций = линейный классификатор

Два класса: $Y = \{-1, +1\}$.

$$\begin{aligned} a(x; X^\ell) &= \arg \max_{y \in Y} \Gamma_y(x) = \text{sign}(\Gamma_{+1}(x) - \Gamma_{-1}(x)) = \\ &= \text{sign} \sum_{i=1}^{\ell} \gamma_i y_i K\left(\frac{\rho(x, x_i)}{h_i}\right). \end{aligned}$$

Сравним с линейной моделью классификации:

$$a(x) = \text{sign} \sum_{j=1}^n \gamma_j f_j(x).$$

- $f_j(x) = y_j K\left(\frac{1}{h_j} \rho(x, x_j)\right)$ — новые признаки объекта x
- γ_j — веса линейного классификатора
- $n = \ell$ — число признаков равно числу объектов обучения

Полный скользящий контроль CCV

Функционал *полного скользящего контроля*
(complete cross-validation, CCV):

$$\text{CCV}(X^L) = \frac{1}{C_L^\ell} \sum_{X^\ell \sqcup X^k} \frac{1}{k} \sum_{x_i \in X^k} [a(x_i, X^\ell) \neq y_i],$$

где $X^\ell \sqcup X^k$ — все C_L^ℓ разбиений выборки X^L на обучающую подвыборку X^ℓ и контрольную X^k .

Замечание 1. При $k = 1$ имеем: $\text{CCV}(X^L) = \text{LOO}(X^L)$.

Замечание 2. CCV характеризует лишь среднюю частоту ошибок, но не учитывает её разброс.

Понятие профиля компактности

Определение

Профиль компактности выборки X^L — это функция доли объектов x_i , у которых m -й сосед $x_i^{(m)}$ лежит в другом классе:

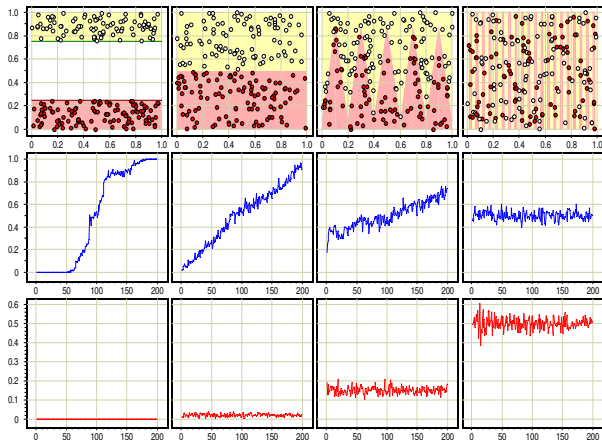
$$K(m, X^L) = \frac{1}{L} \sum_{i=1}^L [y_i \neq y_i^{(m)}]; \quad m = 1, \dots, L-1,$$

где $x_i^{(m)}$ — m -й сосед объекта x_i среди X^L ;
 $y_i^{(m)}$ — ответ на m -м соседе объекта x_i .

Теорема (точное выражение CCV для метода 1NN)

$$CCV(X^L) = \sum_{m=1}^k K(m, X^L) \frac{C_{L-1-m}^{\ell-1}}{C_{L-1}^{\ell}}.$$

Профили компактности для серии модельных задач



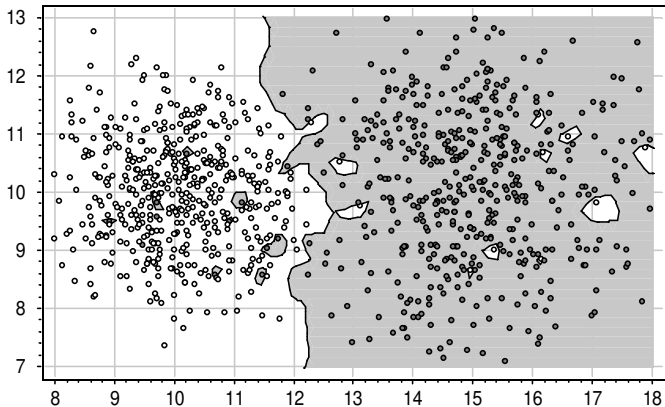
средний ряд: профили компактности,
нижний ряд: зависимость CCV от длины контроля k .

Свойства профиля компактности и оценки CCV

$$\text{CCV}(X^L) = \sum_{m=1}^k K(m, X^L) \frac{C_{L-1-m}^{\ell-1}}{C_{L-1}^\ell}.$$

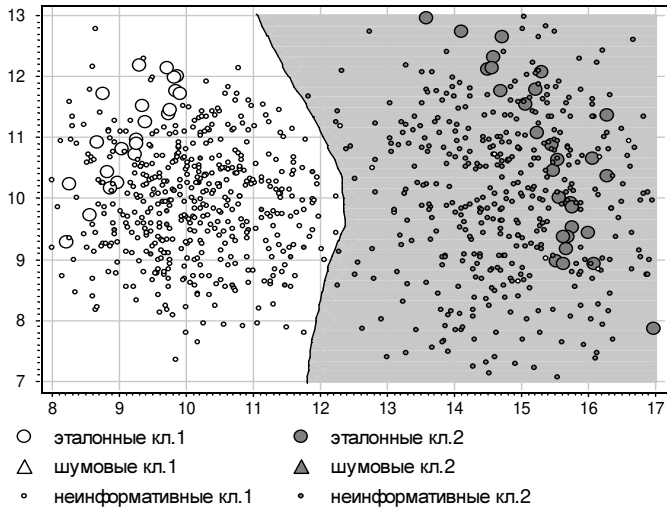
- $K(m, X^L)$ формализует гипотезу компактности, связывая свойства выборки с качеством классификации.
- CCV практически не зависит от длины контроля k .
- Для минимизации CCV важен только начальный участок профиля, т. к. $\frac{C_{L-1-m}^{\ell-1}}{C_{L-1}^\ell} \rightarrow 0$ экспоненциально по m .
- Минимизация CCV позволяет делать отбор эталонов.

Модельные данные

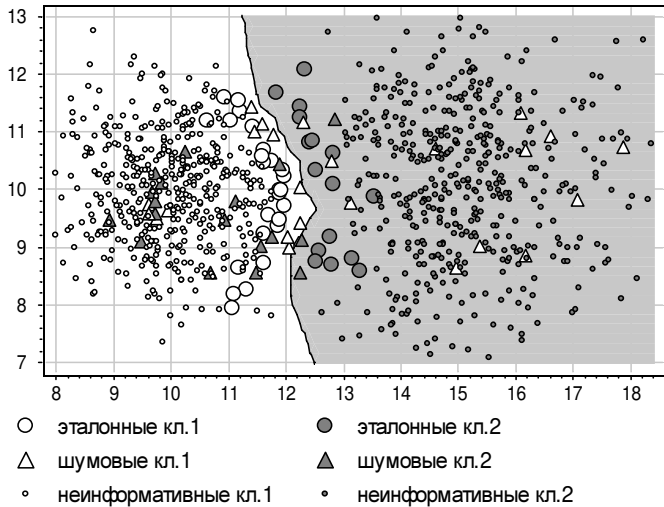


Модельная задача классификации: 1000 объектов.
Алгоритм 1NN

Последовательное добавление эталонных объектов

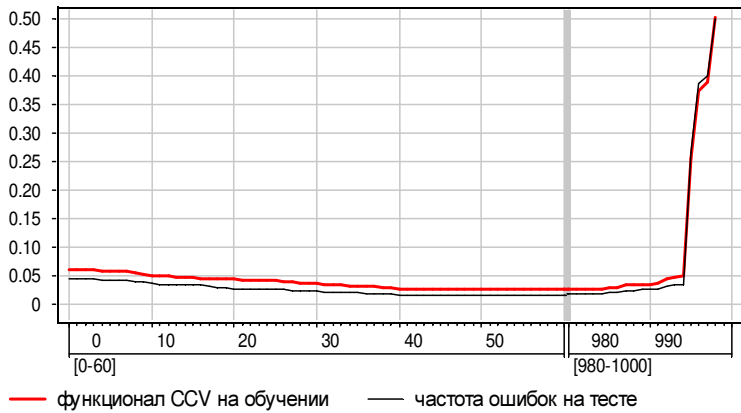


Последовательный отсев не-эталонных объектов



Последовательный отсев не-эталонных объектов

Зависимость ССВ от числа удаленных неэталонных объектов.



При отборе эталонов по критерию ССВ переобучения нет.

Резюме

- Метрические классификаторы — одни из самых простых.
Качество классификации определяется качеством метрики.
- Что можно обучать:
 - число ближайших соседей k или ширину окна h ;
 - веса объектов;
 - набор эталонов (prototype selection);
 - метрику (distance learning, similarity learning);
 - в частности, веса признаков в метрике;
 - функцию ядра $K(r)$.

Задачи регрессии и метод наименьших квадратов

- X — объекты (часто \mathbb{R}^n); Y — ответы (часто \mathbb{R} , реже \mathbb{R}^m);
 $X^\ell = (x_i, y_i)_{i=1}^\ell$ — обучающая выборка;
 $y_i = y(x_i)$, $y: X \rightarrow Y$ — неизвестная зависимость;
- $a(x) = f(x, \alpha)$ — параметрическая модель зависимости,
 $\alpha \in \mathbb{R}^p$ — вектор параметров модели.
- Метод наименьших квадратов (МНК):

$$Q(\alpha, X^\ell) = \sum_{i=1}^{\ell} w_i (f(x_i, \alpha) - y_i)^2 \rightarrow \min_{\alpha},$$

где w_i — вес, степень важности i -го объекта.

- **Недостаток:**
надо иметь хорошую параметрическую модель $f(x, \alpha)$

Непараметрическая регрессия, формула Надарай–Ватсона

Приближение константой $f(x, \alpha) = \alpha$ в окрестности $x \in X$:

$$Q(\alpha; X^\ell) = \sum_{i=1}^{\ell} w_i(x) (\alpha - y_i)^2 \rightarrow \min_{\alpha \in \mathbb{R}};$$

где $w_i(x) = K\left(\frac{\rho(x, x_i)}{h}\right)$ — веса объектов x_i относительно x ;
 $K(r)$ — ядро, невозрастающее, ограниченное, гладкое;
 h — ширина окна сглаживания.

Формула ядерного сглаживания Надарай–Ватсона:

$$a_h(x; X^\ell) = \frac{\sum_{i=1}^{\ell} y_i w_i(x)}{\sum_{i=1}^{\ell} w_i(x)} = \frac{\sum_{i=1}^{\ell} y_i K\left(\frac{\rho(x, x_i)}{h}\right)}{\sum_{i=1}^{\ell} K\left(\frac{\rho(x, x_i)}{h}\right)}.$$

Обоснование формулы Надарай–Ватсона

Теорема

Пусть выполнены следующие условия:

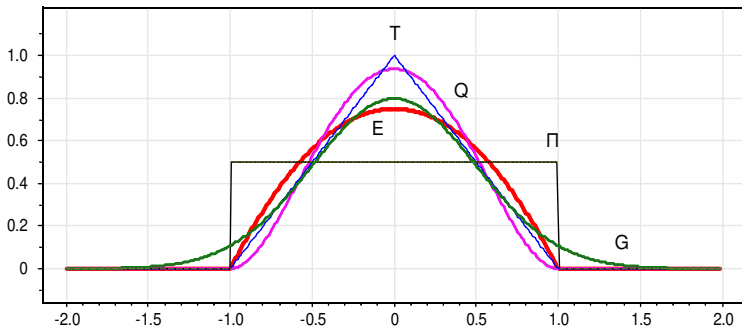
- 1) выборка $X^\ell = (x_i, y_i)_{i=1}^\ell$ простая, из распределения $p(x, y)$;
- 2) ядро $K(r)$ ограничено: $\int_0^\infty K(r) dr < \infty$, $\lim_{r \rightarrow \infty} rK(r) = 0$;
- 3) зависимость $E(y|x)$ не имеет вертикальных асимптот:
$$E(y^2|x) = \int_Y y^2 p(y|x) dy < \infty$$
 при любом $x \in X$;
- 4) последовательность h_ℓ убывает, но не слишком быстро:
$$\lim_{\ell \rightarrow \infty} h_\ell = 0, \quad \lim_{\ell \rightarrow \infty} \ell h_\ell = \infty.$$

Тогда имеет место сходимость по вероятности:

$$a_{h_\ell}(x; X^\ell) \xrightarrow{P} E(y|x) \text{ в любой точке } x \in X,$$

в которой $E(y|x)$, $p(x)$ и $D(y|x)$ непрерывны и $p(x) > 0$.

Часто используемые ядра $K(r)$



$\Pi(r) = [|r| \leqslant 1]$ — прямоугольное

$T(r) = (1 - |r|)[|r| \leqslant 1]$ — треугольное

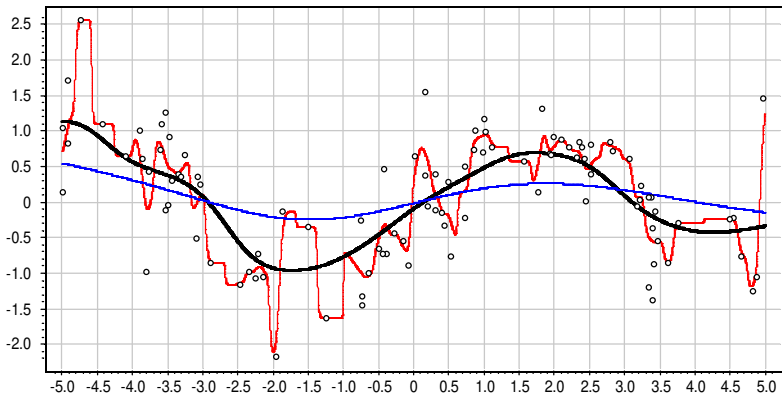
$E(r) = (1 - r^2)[|r| \leqslant 1]$ — квадратичное (Епанечникова)

$Q(r) = (1 - r^2)^2[|r| \leqslant 1]$ — квартическое

$G(r) = \exp(-2r^2)$ — гауссовское

Выбор ядра K и ширины окна h

$h \in \{0.1, 1.0, 3.0\}$, гауссовское ядро $K(r) = \exp(-2r^2)$

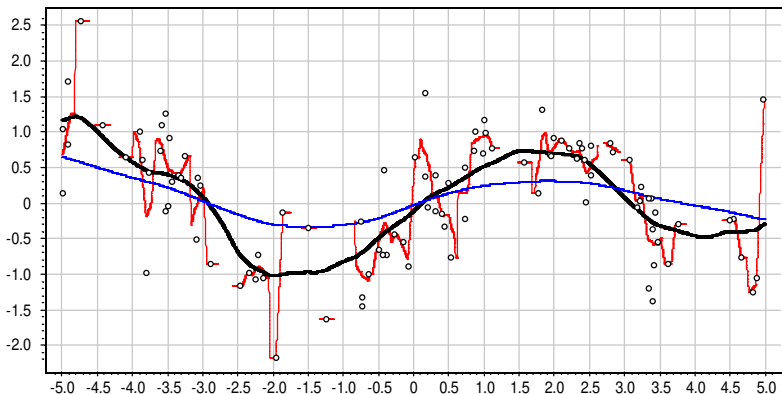


Гауссовское ядро \Rightarrow гладкая аппроксимация

Ширина окна существенно влияет на точность аппроксимации

Выбор ядра K и ширины окна h

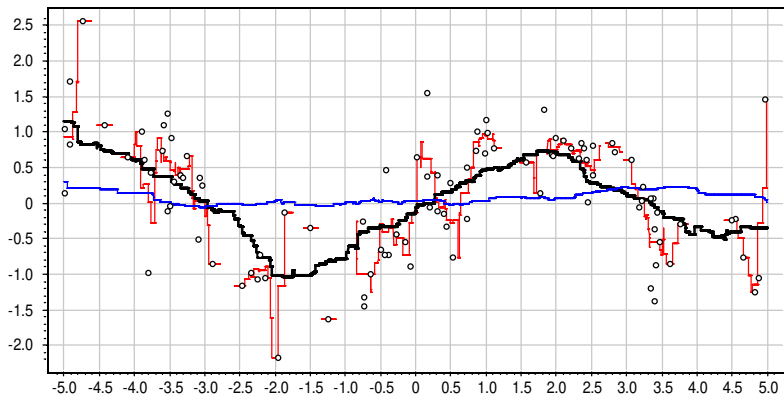
$h \in \{0.1, 1.0, 3.0\}$, треугольное ядро $K(r) = (1 - |r|)[|r| \leq 1]$



Треугольное ядро \Rightarrow кусочно-линейная аппроксимация
Аппроксимация не определена, если в окне нет точек выборки

Выбор ядра K и ширины окна h

$h \in \{0.1, 1.0, 3.0\}$, прямоугольное ядро $K(r) = [|r| \leq 1]$



Прямоугольное ядро \Rightarrow кусочно-постоянная аппроксимация
Выбор ядра слабо влияет на точность аппроксимации

Выбор ядра K и ширины окна h

- Ядро $K(r)$
 - существенно влияет на гладкость функции $a_h(x)$,
 - слабо влияет на качество аппроксимации.
- Ширина окна h
 - существенно влияет на качество аппроксимации.
- Переменная ширина окна по k ближайшим соседям:

$$w_i(x) = K\left(\frac{\rho(x, x_i)}{h(x)}\right), \quad h(x) = \rho(x, x^{(k+1)})$$

где $x^{(k)}$ — k -й сосед объекта x .

- Оптимизация ширины окна по скользящему контролю:

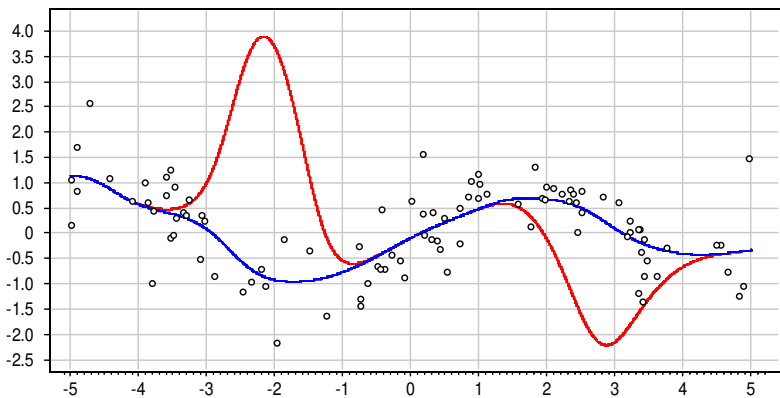
$$\text{LOO}(h, X^\ell) = \sum_{i=1}^{\ell} \left(a_h(x_i; X^\ell \setminus \{x_i\}) - y_i \right)^2 \rightarrow \min_h .$$

Проблема выбросов (эксперимент на синтетических данных)

$\ell = 100$, $h = 1.0$, гауссовское ядро $K(r) = \exp(-2r^2)$

Две из 100 точек — выбросы с ординатами $y_i = 40$ и -40

Синяя кривая — выбросов нет



Проблема выбросов и локально взвешенное сглаживание

Проблема выбросов: точки с большими случайными ошибками y_i сильно искажают функцию $a_h(x)$

Основная идея:

чем больше величина ошибки $\varepsilon_i = |a_h(x_i; X^\ell \setminus \{x_i\}) - y_i|$,
тем больше прецедент (x_i, y_i) похож на выброс,
тем меньше должен быть его вес $w_i(x)$.

Эвристика:

домножить веса $w_i(x)$ на коэффициенты $\gamma_i = \tilde{K}(\varepsilon_i)$,
где \tilde{K} — ещё одно ядро, вообще говоря, отличное от $K(r)$.

Рекомендация:

квартическое ядро $\tilde{K}(\varepsilon) = K_Q\left(\frac{\varepsilon}{6 \text{med}\{\varepsilon_i\}}\right)$,
где $\text{med}\{\varepsilon_i\}$ — медиана вариационного ряда ошибок.

Алгоритм LOWESS (LOcally WEighted Scatter plot Smoothing)

Вход: X^ℓ — обучающая выборка;

Выход: коэффициенты γ_i , $i = 1, \dots, \ell$;

1: инициализация: $\gamma_i := 1$, $i = 1, \dots, \ell$;

2: **повторять**

3: **для всех** объектов $i = 1, \dots, \ell$

4: вычислить оценки скользящего контроля:

$$a_i := a_h(x_i; X^\ell \setminus \{x_i\}) = \frac{\sum_{j=1, j \neq i}^{\ell} y_j \gamma_j K\left(\frac{\rho(x_i, x_j)}{h(x_i)}\right)}{\sum_{j=1, j \neq i}^{\ell} \gamma_j K\left(\frac{\rho(x_i, x_j)}{h(x_i)}\right)};$$

5: **для всех** объектов $i = 1, \dots, \ell$

6: $\gamma_i := \tilde{K}(|a_i - y_i|)$;

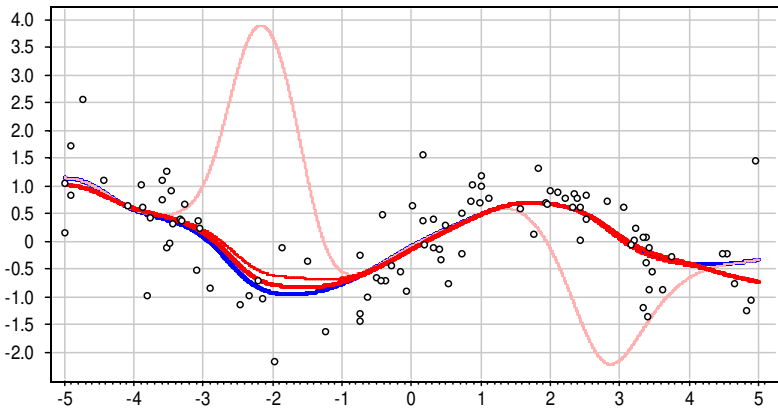
7: **пока** коэффициенты γ_i не стабилизируются;

Пример работы LOWESS на синтетических данных

$\ell = 100$, $h = 1.0$, гауссовское ядро $K(r) = \exp(-2r^2)$

Две из 100 точек — выбросы с ординатами $y_i = 40$ и -40

В данном случае LOWESS сходится за несколько итераций:



Резюме

- Непараметрическая регрессия обходится без явного задания параметрической модели зависимости $f(x, \alpha)$.
- Однако неявно модельные предположения закладываются в функцию расстояния $\rho(x, x_i)$ между объектами.
- Что можно обучать:
 - число ближайших соседей k или ширину окна h ;
 - веса объектов (обнаруживать выбросы);
 - метрику (*distance learning, similarity learning*);
 - в частности, веса признаков в метрике.
- Непараметрическая регрессия часто используется как инструмент предварительной обработки данных для сглаживания шумов в данных.